

где B_t — торoidalное магн. поле, $\varepsilon_k = B_{1k}/B_t$ — относит. амплитуда винтовых гармоник, $\alpha = 2\pi/L$ (L — шаг винтовой обмотки) и r, Φ, φ — пространственные координаты, $I_k(x)$ — модифициров. ф-ция Бесселя. Внутри данного объема возникают два вида сило-

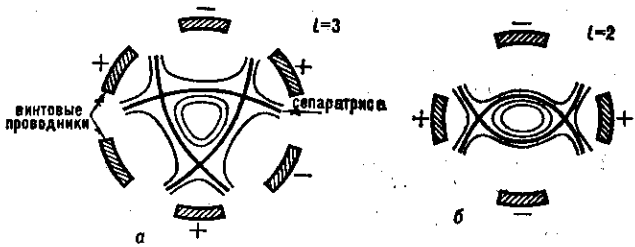
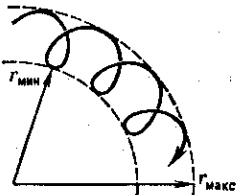


Рис. 1. Поперечное сечение магнитных поверхностей для стеллатора с $l = 3$ (a), с $l = 2$ (b).

вых линий: силовые линии, охватывающие винтовые проводники, и внутр. линии, образующие магн. поверхности. Поверхность, разделяющая обе эти

Рис. 2. Поперечная проекция силовой линии; r_{\min} и r_{\max} — минимальный и максимальный радиусы магнитных поверхностей.



области, наз. сепаратором. В пренебрежении торoidalностью и вкладом более высоких гармоник она представляет собой l -угольную винтовую поверхность с шагом, равным шагу винтовой обмотки, и ребрами, расположеными напротив проводников с направлением

тока, противоположным направлению продольного поля B_t при правом винтовом обходе, и наоборот — при левом. Схематич. изображение поперечного сечения магн. поверхностей для С. с $l = 3$ и $l = 2$ приведено на рис. 1. Силовые линии замкнутых магн. поверхностей отстают от вращения ребер сепаратора. Совершая радиальные и azimuthальные колебания, силовые линии дрейфуют по малому azimuthу, обеспечивая ср. угол преобразования поворота. На рис. 2 изображена поперечная проекция силовой линии на нек-рой магн. поверхности.

Преобразование поворота в С. возникает в результате усреднения вдоль торoidalной системы несмотря на то, что среднее полоидальное магн. поле $\langle B_\phi \rangle$ внутри винтовых проводников равно нулю, $\oint B dI = 0$. Полоидальный магн. поток через продольную перегородку dS между близкими магн. поверхностями $d\Phi = \int B dS$ не равен нулю и соответственно вращает преобразование и численно равно $d\Phi/d\Phi$, где $d\Phi$ — продольный магн. поток, охватываемый данными магнитными поверхностями.

Др. характеристикой магн. поля С. является величина на радиальной производной вращат. преобразования $d\mu/dr$, или т. н. шир $\Theta = \mu'/\mu$ (r — усредненный радиус сечения магн. поверхности), характеризующий степень перекрещенности силовых линий при переходе с одной поверхности на другую. Создание достаточной величины шир необходима для обеспечения устойчивости плазмы в системе. Величины μ и Θ характеризуют также степень топологич. устойчивости магн. структуры С. Для обеспечения заданной структуры поля необходима высокая точность изготовления магн. обмоток С. Неизбежные неточности изготовления установки могут приводить к заметной деформации магн. поверхностей. Особую опасность для удержания плазмы представляют резонансные возмущения рациональных магн. поверхностей с низкими значениями m и n , приводящие к образованию т. н. магн. островов (см. Пересечение магн. полей), что равносильно уменьшению эффективного поперечного размера системы. Устойчивость плазмы в С. может быть также обеспечена при низких значениях магн. шир при наличии ср. магн. ямы (см. Стабилизация неустойчивостей плазмы).

Магн. поле С. может быть создано разл. способами. Системы, где торoidalное и винтовое поля создаются винтовыми обмотками с односторонними токами, наз. торсатроны. Гелиотрон — установка, в к-рой параллельно с торсатронными обмотками используются катушки, создающие часть торoidalного магн. потока. Магн. поле С. может быть создано и без винтовых обмоток — с помощью специально

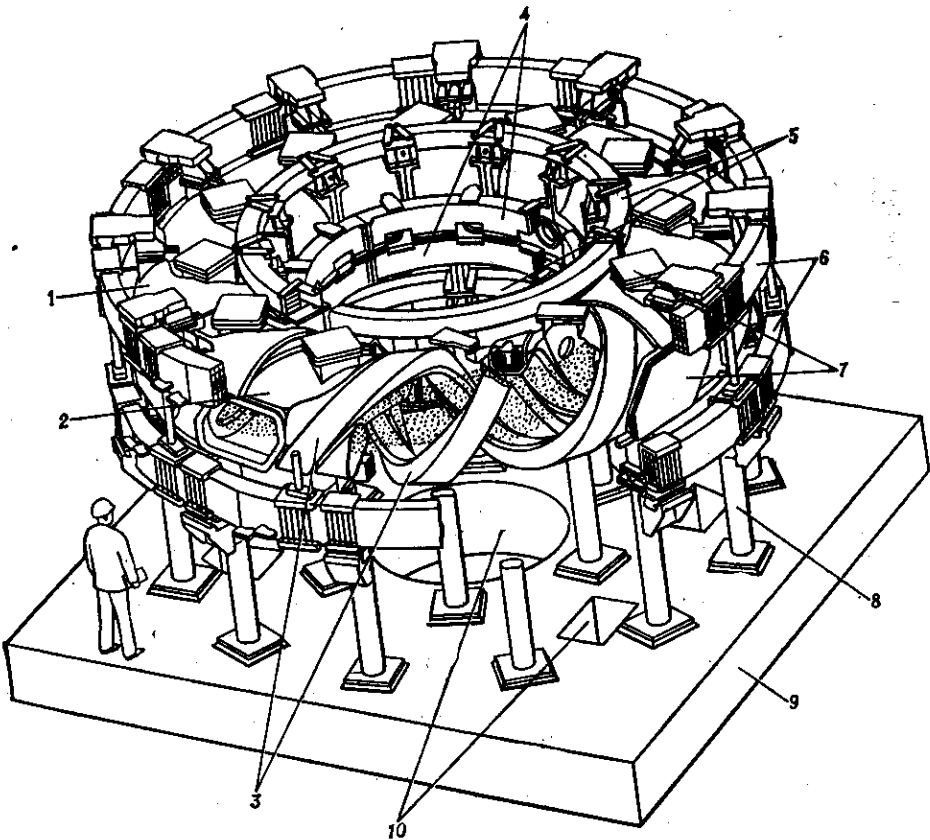


Рис. 3. Схема конструкции стеллатора — торсатрона ATF: 1 — механическая оболочка; 2 — вакуумная камера; 3 — винтовые обмотки; 4 — внутренние обмотки поперечного поля; 5 — средние обмотки поперечного поля; 6 — внешние обмотки поперечного поля; 7 — фланец вакуумной камеры; 8 — опоры установки; 9 — основание; 10 — место для исследовательской аппаратуры.